

На расстояниях, на которых световой сигнал достаточно сильно поглотился в материале световода и интенсивность света удовлетворяет неравенству  $I(x) \ll (v_0/S) \exp(-\hbar\omega/kT)$ , закон ослабления сигнала имеет вид

$$I(x) = I_1 \exp(-\gamma x), \quad \gamma = \gamma_2,$$

$$I_1 = (v_0/S) \exp(-\hbar\omega/kT) \exp\{[(\exp(\hbar\omega/kT) I_0 S/v_0)^{1-\alpha} - 1](1-\alpha)^2 \pi \operatorname{cosec}(\pi x)\} \quad (14)$$

[величина  $I_1$  определяется из условия спивки асимптотик (11) и (14) в точке  $x=x_2$ ].

Уравнение (7) также решалось численно. Результаты расчетов представлены на рисунке. Заметим, что величина коэффициентов  $\gamma_1$  и  $\gamma_2$  определяется суммарной плотностью локализованных носителей с энергией, не превышающей  $\hbar\omega$ . Там, где преобладает фотостимулированная делокализация (это область высокой интенсивности сигнала и, следовательно, малых значений  $x$ ), плотность локализованных носителей меньше равновесной, и, поэтому коэффициент  $\gamma_1$  оказывается меньше коэффициента  $\gamma_2$ .

Таким образом, между асимптотиками (9) и (14) имеется область, в которой поглощение света происходит по закону, отличающемуся от экспоненциального [см. (11)]. Следовательно, при достаточно большой интенсивности светового сигнала на определенном участке волновода наблюдается отклонение от экспоненциального закона поглощения Бугера.

#### Список литературы

- [1] Orenstein J., Kastner M. A., Vaninov V. // Phil. Mag. B. 1982. V. B46. N 1. P. 23–62.  
[2] Архицов В. И., Емельянова Е. В. // Высокочистые вещества. 1989. Т. 3. В. 6. С. 198–201.

Московский  
инженерно-физический институт

Получено 14.05.1991  
Принято к печати 18.07.1991

ФТП, том 25, вып. 12, 1991

## ЗАРЯЖЕННЫЕ ДИСЛОКАЦИИ В ПОЛУПРОВОДНИКАХ $p$ -ТИПА

Шикин В. Б., Шикина Ю. В.

Одной из интересных проблем в физике заряженных дислокаций является их поведение в полупроводниках  $p$ -типа. Как впервые было отмечено в работе [1], дислокации, введенные в  $p$ -германий, демонстрируют параллельно акцепторное и донорное свойства. Это заключение следует немедленно из экспериментальных данных о температурной зависимости плотности свободных дырок в образцах до и после пластической деформации (см. рисунок). В области  $T < T^*$  плотность свободных дырок  $n_p(T)$  в деформированном образце меньше соответствующей плотности контрольного образца  $n_p^0$ , что можно объяснить донорным действием введенных в образец дислокаций. В случае  $T > T^*$  наблюдается обратная картина,  $n_p > n_p^0$  — факт, свидетельствующий об акцепторном действии дислокаций на свойства полупроводника.

Обработка данных из [1], а также более поздних результатов [2, 3] выполнена с использованием минимума информации о свойствах заряженных дислокаций в  $p$ -полупроводниках, а именно полагается, что при температуре  $T = T^*$ , когда дислокации нейтральны, уровень Ферми  $F$  совпадает с положением дислокационного уровня  $E_0$ :

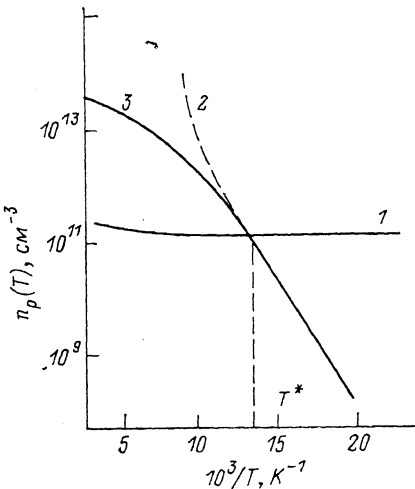
$$F(T^*) = E_0. \quad (1)$$

Это предположение, на первый взгляд, кажется разумным и позволяет оценить величину  $E_0$  (согласно [1, 2],  $E_0 \approx 0.09$  эВ над вершиной валентной зоны), од-

нако остается нерешенным ряд качественно интересных вопросов: прежде всего, какое действие приписывается уровню  $E_0$  — акцепторное или донорное? Как объяснить точное обращение в нуль фактора заполнения  $f$  дислокационного уровня электронами при конечной температуре  $T = T^*$ ? Наличие этого факта несомненно (в точке  $T = T^*$  плотности дырок деформированного и контрольного образцов совпадают, что соответствует отсутствию лишних электронов на дислокациях), но его интерпретация не ясна. Наконец, менее очевидный вопрос: достаточно ли модели заряженной дислокации с одним феноменологическим параметром, положением дислокационного уровня  $E_0$  в запрещенной зоне полуроводника для описания свойств  $n_p(T)$  в области высоких температур  $T > T^*$ ?

Ответы на эти вопросы составляют содержание данного сообщения.

1. В условиях  $T \gg T^*$  средняя плотность дырок  $n_p(T)$  в деформированном образце заметно превосходит плотность дырок  $n_p^0$  в контрольном образце, что позволяет при обсуждении ситуации  $T \gg T^*$  пренебречь плотностью точечных акцепторов. В результате вопрос о заполнении дислокации электронами и, в частности, решение соответствующей электростатической



Схематическое изображение температурной зависимости плотности дырок  $n_p(T)$  в трех вариантах.

1 — в контрольном образце, 2 — без ограничения на емкость акцепторного уровня [см. формулу (2)], 3 — в деформированном образце;  $N_d = 3.5 \cdot 10^7 \text{ см}^{-3}$ , что согласуется с экспериментом [3].

задачи сводятся к описанию взаимодействия отрицательно заряженной дислокации с облаком окружающих ее дырок.

Сформулированная электростатическая задача допускает точное решение (см. работы [4], а также [5]). Опуская в связи с этим детали расчетов, которые можно найти в [5], приведем здесь финальное выражение для средней плотности дырок  $\bar{n}_p(T)$  в образце с дислокациями

$$\bar{n}_p(T) = \frac{1}{aR^2} \left( \frac{T}{T_c} \right), \quad T_c = \frac{e^2}{\pi a^2}, \quad T^* < T < T_c. \quad (2)$$

Здесь  $a$  — межатомное расстояние,  $\pi$  — диэлектрическая постоянная полупроводника,  $R$  — среднее расстояние между дислокациями.

Нетрудно видеть, что предсказание (2) качественно противоречит наблюдениям [1-3] [см. рисунок, где зависимость  $\bar{n}_p$  (2) нанесена штриховой линией 2]. Это противоречие можно устранить лишь одним способом, полагая, что заполнение электронами дислокационного уровня ограничено не только кулоновскими силами [этот фактор учтен при выводе (2)], но и другими причинами не электрического происхождения.

2. Учитывая изложенные выше соображения, мы предлагаем следующую модель для описания свойств  $p$ -полупроводника с достаточно большой плотностью дислокаций: а) дислокация должна содержать два уровня — акцепторный  $E_a$  и донорный  $E_d$ ; б) уровни  $E_a$  и  $E_d$  должны обладать конечной емкостью  $c_a$  и  $c_d$ ; в) в случае достаточно большой плотности дислокаций  $N_s$  и (как будет видно далее) сравнительно небольшой емкости  $c_a \ll 1$  в широком интервале температур  $T \geq T^*$  можно пренебречь взаимодействием электронов, локализованных на дислокации.

Перечисленные допущения позволяют использовать для описания равновесных свойств полупроводника с дислокациями формализм, отвечающий поведению полупроводника с точечными примесями. В частности, условие локальной нейтральности, являющееся уравнением относительно уровня Ферми  $F$ , выглядит так:

$$N_v(T) \exp\left(-\frac{F}{T}\right) + \frac{\frac{n_d}{(E_d-F)}}{1+e^{\frac{(E_d-F)}{T}}} = \frac{\frac{n_a}{(E_a-F)}}{1+e^{\frac{(E_a-F)}{T}}} + n_a^0. \quad (3)$$

Здесь  $n_a^0$  — объемная плотность точечных акцепторов,  $E_a$  и  $E_d$  — положения акцепторного и донорного уровней в запрещенной зоне полупроводника,  $n_a = N_d(c_a/a)$ ,  $n_d = N_d(c_d/a)$  — эффективные плотности дислокационных акцепторов и доноров,  $c_a, c_d$  — соответствующие емкости,  $N_v(T)$  — плотность состояний дырок в валентной зоне.

Для того чтобы кривая  $n_p(T)$  проходила через точку  $T=T^*$  без излома, как это имеет место в экспериментах [1-3], необходимо полагать, что

$$E_a \approx E_d = E_0. \quad (4)$$

Используя это дополнительное предположение и обозначения

$$x = \exp\left(\frac{E_0 - F}{T}\right), \quad n_0 = N_v(T) \exp\left(-\frac{F}{T}\right), \quad (5)$$

можно привести соотношение (3) к виду

$$n_0 x - \frac{x n_d}{1+x} = \frac{n_a}{1+x} + n_a^0, \quad (6)$$

или

$$x = -\frac{1}{2} \left( 1 + \frac{n_d}{n_0} - \frac{n_d^0}{n_0} \right) + \left( \frac{1}{4} \left( 1 + \frac{n_d}{n_0} - \frac{n_a^0}{n_0} \right)^2 + \frac{n_a}{n_0} + \frac{n_a^0}{n_0} \right)^{1/2}. \quad (7)$$

В интересующем нас случае

$$n_d > n_a \gg n_a^0 \quad (8)$$

выражение (7) может быть упрощено:

$$x \approx \frac{n_a + n_a^0}{n_0 + n_d - n_a^0}. \quad (9)$$

Отсюда нетрудно видеть, что в пределе  $T \gg T^*$

$$n_0 \gg n_d, \quad x \approx \frac{1}{n_0} (n_0 + n_a^0), \quad n_p(T) = n_0 x = n_a + n_a^0. \quad (10)$$

Асимптотика (10) для  $n_p(T)$  позволяет оценить емкость  $c_a$  по известным из эксперимента величинам  $n_p(\infty)$  и  $N_d$ . Согласно [2],  $n_p(\infty) = 10^{20} \text{ м}^{-3}$ ,  $N_d = 3.5 \times 10^{11} \text{ м}^{-2}$  и, следовательно,

$$c_a \approx 0.13. \quad (11)$$

Интересна точка  $T^*$ , которая в терминах (5), (6) определяется равенствами

$$n_d x^* = n_a, \quad x^* = x(T^*), \quad (12a)$$

$$n_0^* x^* = n_a^0, \quad n_0^* = n_0(T^*), \quad (12b)$$

или

$$\frac{c_a}{c_d} = \frac{n_a^0}{n_0(T^*)}. \quad (13)$$

Очевидно, что величина  $T^*$  не зависит от плотности дислокаций, т. е. все зависимости  $n_p(T)$  для разных плотностей дислокаций должны пересекаться в одной точке  $T=T^*$ , что и имеет место в действительности. Далее, учитывая, что в экспериментах [1-3] не указано на специальную малость  $c_a$ , можно полагать  $c_a \approx 1$ . В этом случае соотношения (12), (13) определяют энергию  $E_0$ :

$$x^* = \frac{c_a}{c_d}, \quad \text{или} \quad E_0 = F(T^*) - T^* \ln \frac{c_d}{c_a}. \quad (14)$$

Определение  $E_0$  (14) совпадает с (1) в специальном случае  $c_a = c_d$ .

**Выводы.** Анализ экспериментальных данных [1-3] показывает, что статистика полупроводника с заряженными дислокациями содержит по крайней мере четыре параметра —  $E_a$ ,  $E_d$  и  $c_a$ ,  $c_d$ . Обработка имеющихся для  $p$ -германия экспериментальных данных в предложенной выше модели приводит к следующим результатам для указанных параметров:  $E_a \approx E_d = 0.08$  эВ,  $c_a \approx 0.13$ ,  $c_d \approx 1$ . Нейтральность дислокации в точке  $T = T^*$  означает не отсутствие на ней электронов, а равенство избыточных электронов на уровне  $E_a$  и избыточных дислокационных дырок на уровне  $E_d$ .

#### Список литературы

- [1] Schröter W. // Phys. St. Sol. 1967, V. 21. P. 211—224.
- [2] Осипьян Ю. А., Шевченко С. А. // ЖЭТФ. 1973. Т. 65. С. 698—704.
- [3] Kolubakin A. I., Shevchenko S. A. // Phys. St. Sol. 1981. V. A63. P. 677—685.
- [4] Камке Э. Справочник по обыкновенным дифференциальным уравнениям. М., 1965. 589 с.
- [5] Глазман Г. И., Сурис Р. А. // ФТП. 1986. Т. 20. В. 10. С. 1769—1775.

Институт физики твердого тела  
АН СССР  
Черноголовка

Получено 1.07.1991  
Принято к печати 18.07.1991

ФТП, том 25, вып. 12, 1991

## МАЛОСИГНАЛЬНЫЕ ХАРАКТЕРИСТИКИ СТРУКТУР ИЗ «ЧИСТЫХ» ПОЛУПРОВОДНИКОВ С НЕИНЖЕКТИРУЮЩИМИ КОНТАКТАМИ В УСЛОВИЯХ ПОЛНОЙ ЭКСКЛЮЗИИ НОСИТЕЛЕЙ ТОКА

Аронов Д. А., Валиев Б. Х., Маматкулов Б. Р.

1. В наших прежних работах по эффекту эксклюзии (ЭЭ) в  $n^+ - n - R - (p^+ - p - R)$ -структуре из «чистого» полупроводника [ $R$  — рекомбинационный (омический) тыловой контакт на границе с металлом], вошедших в обзорную статью [1], описаны статические характеристики сильной и полной эксклюзии, когда при приложении достаточно большого напряжения (составляющего от десятых долей до единиц, десятков и даже сотен вольт [2-5] в зависимости от степени чистоты материала, длины образца, температуры и интенсивности света) из каждой точки базового кристалла в равной мере выносятся все термо- и фотогенерированные собственные носители тока. Экспериментально в режиме ПЭН исследованы лишь импульсные характеристики [2, 3], малосигнальные характеристики ЭЭ не рассматривались. В настоящей работе эти характеристики изучаются теоретически, что представляет интерес как для создания более полной теории ЭЭ, понимания закономерностей протекания физических процессов в динамических условиях, так и для практических целей, ибо такие исследования выявляют инерционные и реактивные свойства ЭЭ, зависимость их от параметров материала и структуры, частоты переменного сигнала и приложенного напряжения.

2. Динамические характеристики структуры рассмотрим при воздействии малого гармонического сигнала  $\tilde{V}_{\text{exp}}(i\omega t)$  ( $\omega$  — циклическая частота), наложенного на большое обратное смещение  $V_{\text{ct}}$ , вызывающее ПЭН ( $|\tilde{V}| \ll V_{\text{ct}}$ ,  $|\tilde{V}| < kT/q$ ). При решении задачи исходим из бездиффузационной феноменологической системы уравнений, описывающих процессы термогенерации, рекомбинации и транспорта носителей в однородном ( $p$ -типа) полупроводнике, имеющей при не очень высоких частотах сигнала (чтобы можно было пре-небречь током смещения) следующий вид (см., например, [4]):

$$\frac{\partial n}{\partial t} = \frac{1}{q} \frac{\partial j_n}{\partial x} - \frac{n - n_0}{\tau}, \quad (1)$$